

Test-Model Correlation of Dry-Friction Damping Phenomena in Aero-Engines

Pierrick JEAN

« Ce document et les informations qu'il contient sont la propriété de Snecma. Ils ne doivent pas être copiés ni communiqués à un tiers sans l'autorisation préalable et écrite de Snecma. ».

Outline

- 1- Industrial context**
- 2- The approach used for dry friction damping**
- 3- Experimental results**
- 4- Simulation methods**
- 5- Numerical results**

« Ce document et les informations qu'il contient sont la propriété de Snecma. Ils ne doivent pas être copiés ni communiqués à un tiers sans l'autorisation préalable et écrite de Snecma. ».

■■■ 1- Industrial context (1/2)

► Context : bladed disks design

- Agressive aerodynamic profiles : lower flutter margins, higher aerodynamic loads
- Prevention HCF risks

► To predict better bladed disks vibration levels

- Aerodynamic loads prediction
- Damping prediction => availability of non-linear numerical tools
 - Calibrated, with a good level of confidence
 - Easy to use
 - Calculation time compatible with design cycles

► To design additional damping solutions

« Ce document et les informations qu'il contient sont la propriété de Snecma. Ils ne doivent pas être copiés ni communiqués à un tiers sans l'autorisation préalable et écrite de Snecma. ».

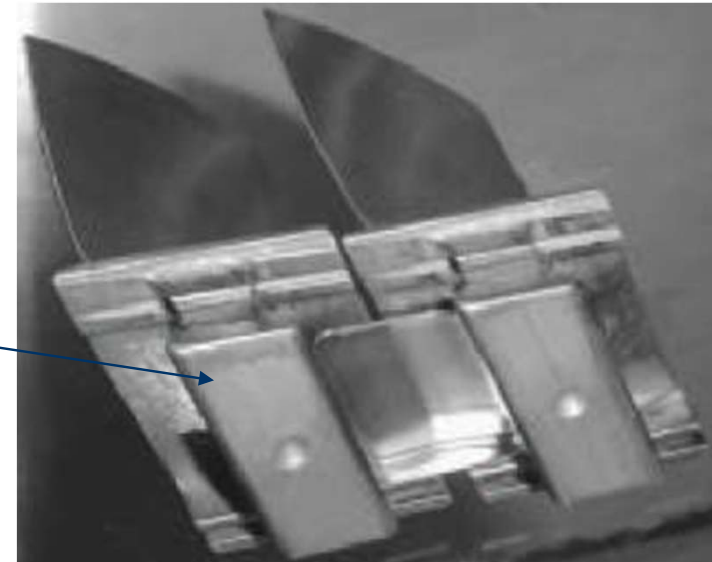
■ 1- Industrial context (2/2) – R&T on damping at Snecma

► Natural damping

- Material damping
 - Metallic materials
 - Composite materials
- Friction interfaces
 - *Dovetail joints*
 - Shrouds
 - Inter-stage links
- Aeroelastic damping

► Intentional damping

- Dry-friction
 - Rim dampers
 - *Under-platform friction dampers : wedge, thin-wall damper*
- Constrained viscoelastic layers
- Smart materials



« Ce document et les informations qu'il contient sont la propriété de Snecma. Ils ne doivent pas être copiés ni communiqués à un tiers sans l'autorisation préalable et écrite de Snecma. ».

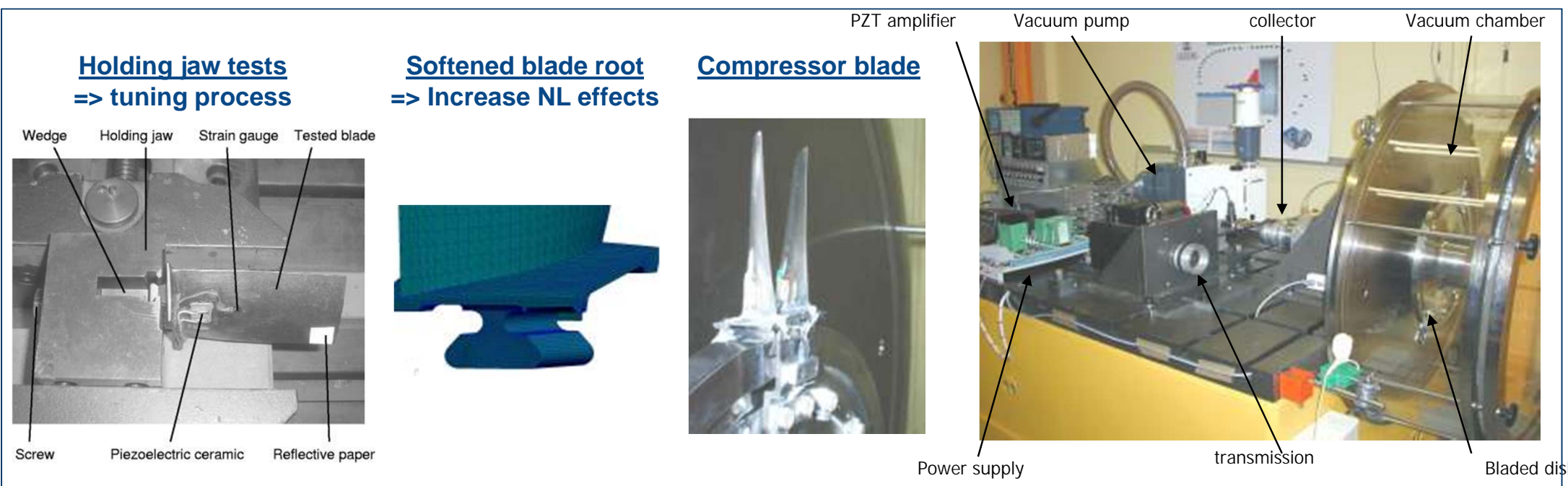
■ 2- Approach for dry friction simulations (1/2)

► Experiments to calibrate the simulations

- based on ADTurbll rig configuration
- 5 regimes (1000-5000 rpm)
- 5 excitation voltages, applied by 2 PZTs / blade
- 2 strain gages / blade
- 15% to 30% reproducibility in level

4 configurations

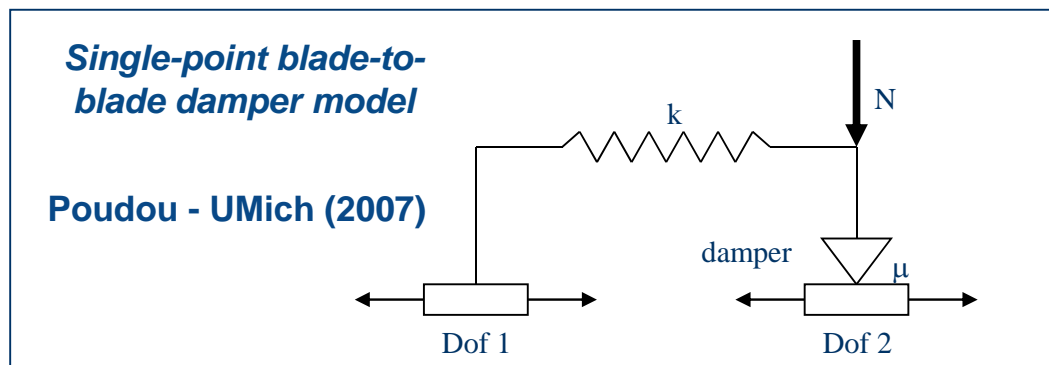
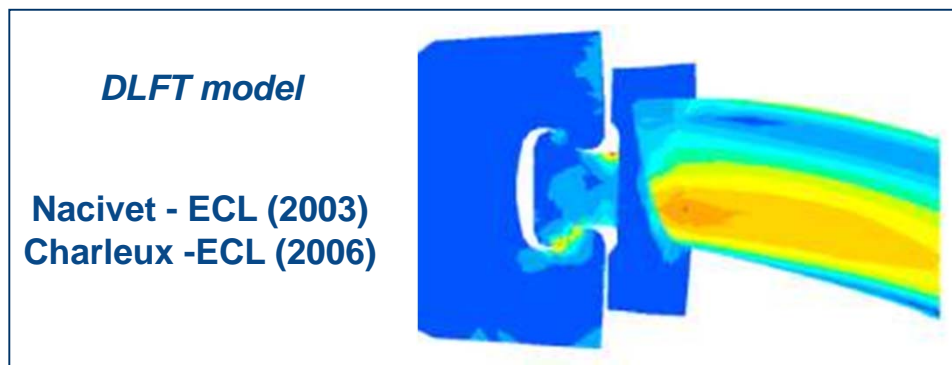
	Bonded root	Free root
Without damper	1° => Linear model	2° => blade root model
With damper	3°=> Damper model	4°



« Ce document et les informations qu'il contient sont la propriété de Snecma. Ils ne doivent pas être copiés ni communiqués à un tiers sans l'autorisation préalable et écrite de Snecma. ».

■ 2- Approach for dry friction simulations (2/2)

- Numerical tools based on HBM, industrialised from 3 PhD thesis tools



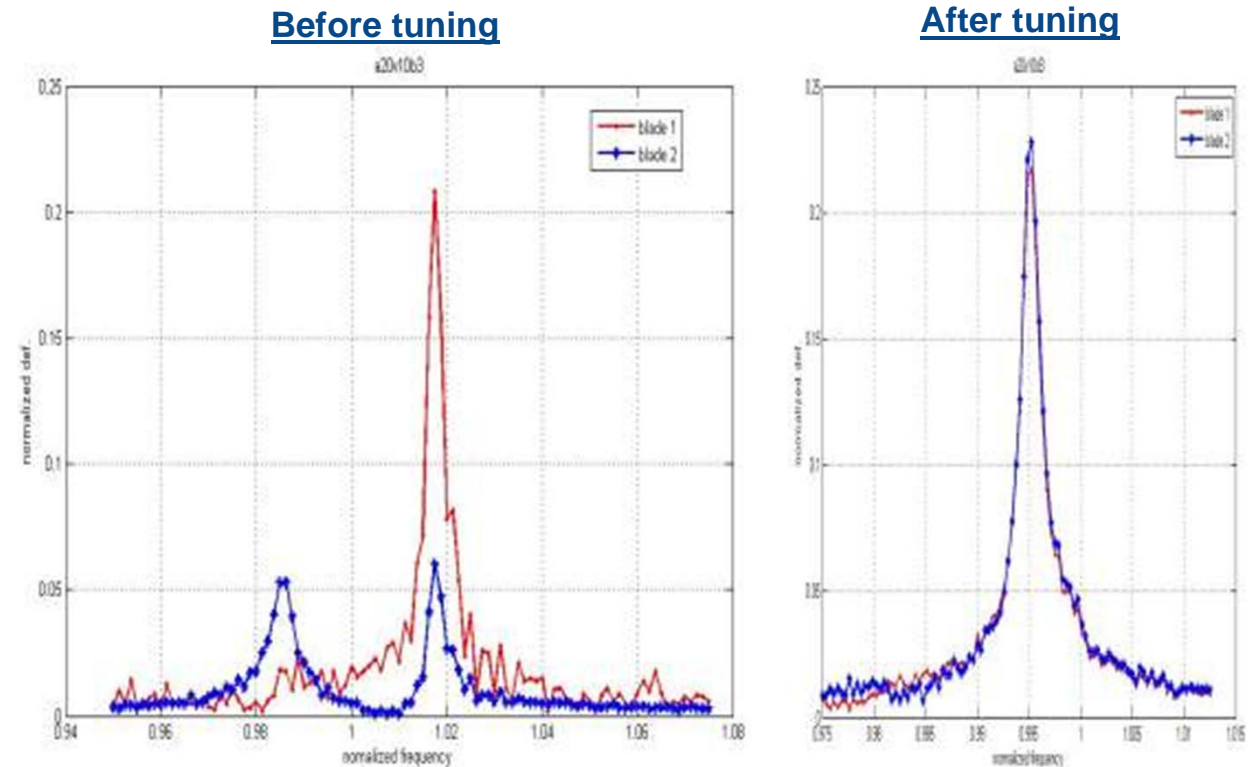
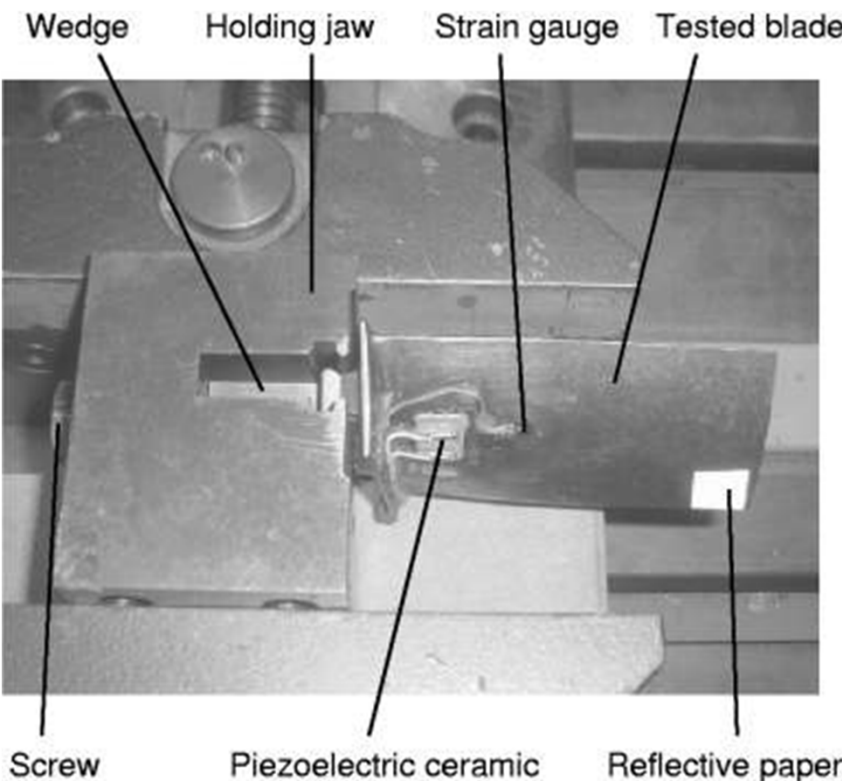
(DLFT : Dynamic Lagrangian Frequency Time)

« Ce document et les informations qu'il contient sont la propriété de Snecma. Ils ne doivent pas être copiés ni communiqués à un tiers sans l'autorisation préalable et écrite de Snecma. ».

■■■ 3- Experimental results – tuning process

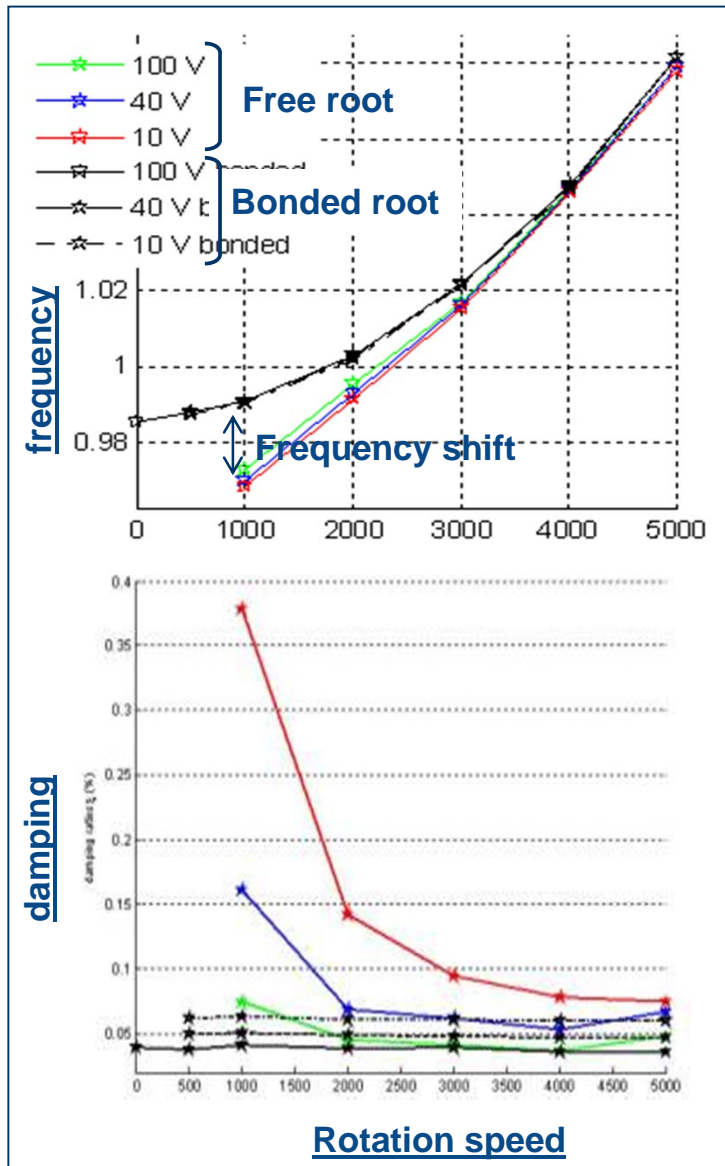
► Holding jaw tests : tuning process

- 1st bending mode
- Additional tip mass
- Out Of Phase mode => efficiency of damper



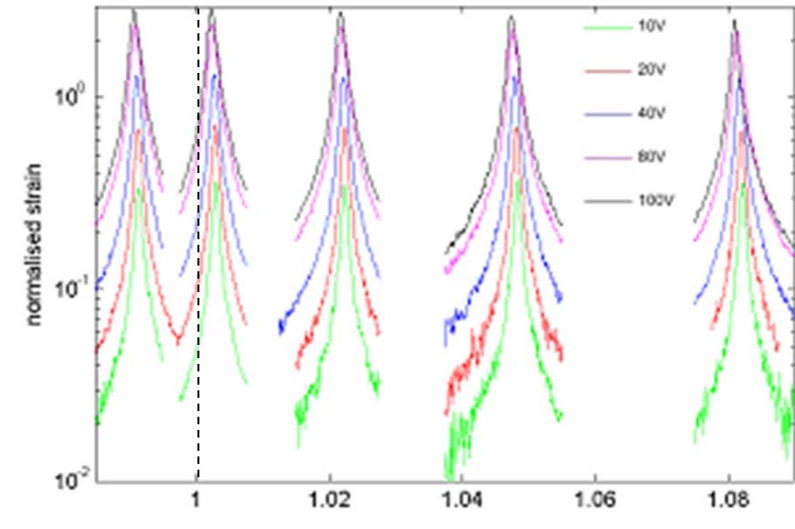
« Ce document et les informations qu'il contient sont la propriété de Snecma. Ils ne doivent pas être copiés ni communiqués à un tiers sans l'autorisation préalable et écrite de Snecma. »

■■■ 3- Exp. results - Rotating tests / dovetail joint effect



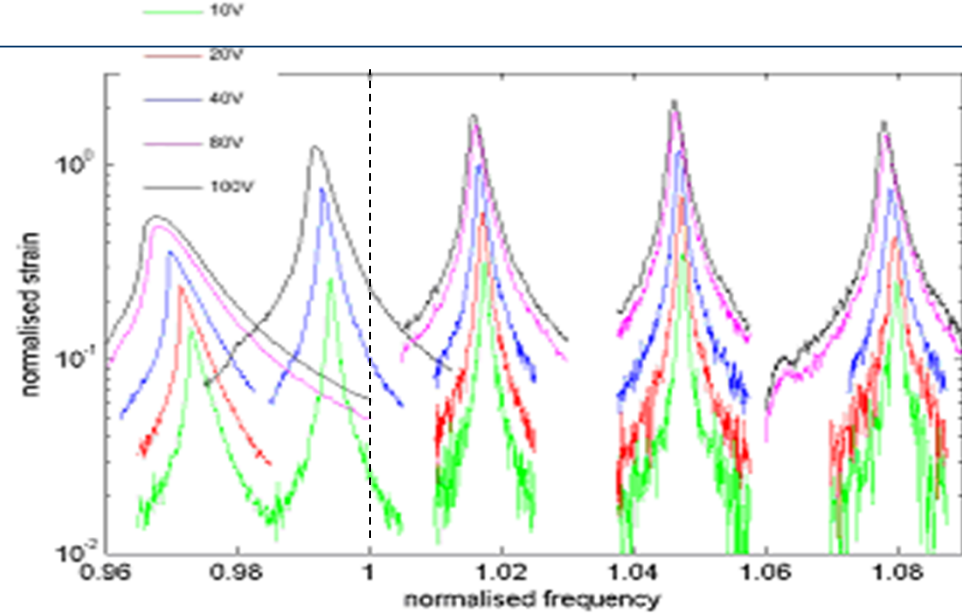
w/o damper Bonded root

⇒ Linear ref.
-constant damping
-constant level



w/o damper Free root

⇒ dovetail joint ref.
- increased damping for low regimes
- frequency shift

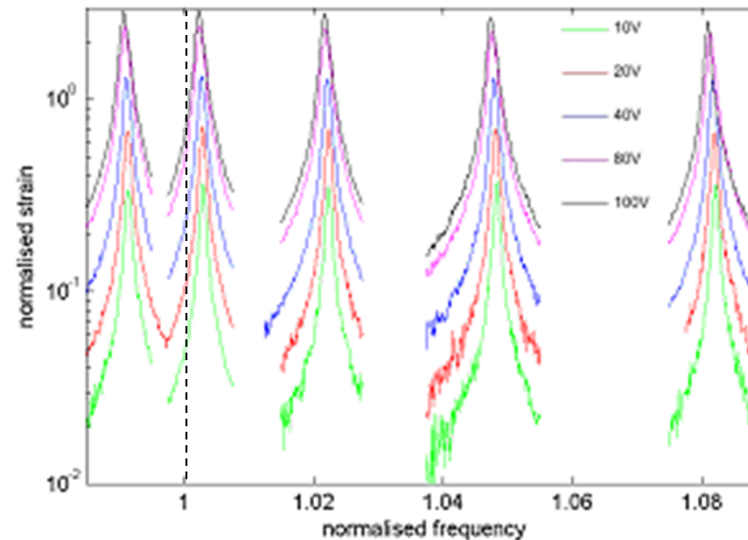


« Ce document et les informations qu'il contient sont la propriété de Snecma. Ils ne doivent pas être co

■■■ 3- Exp. results (3/3) - Rotating tests / damper effect

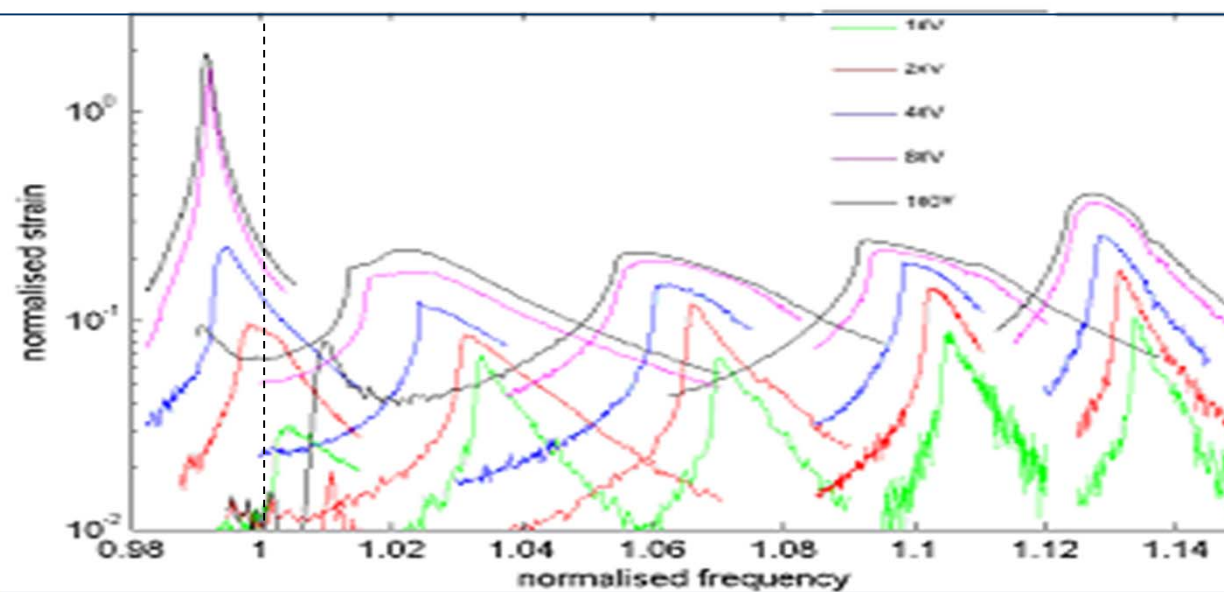
w/o damper Bonded root

⇒ Linear ref.
-constant damping
-constant level



with damper Bonded root

⇒ Damper ref.
- large damping effect (-23 dB)
- Frequency shift
- optimal regime



« Ce document et les informations qu...

»

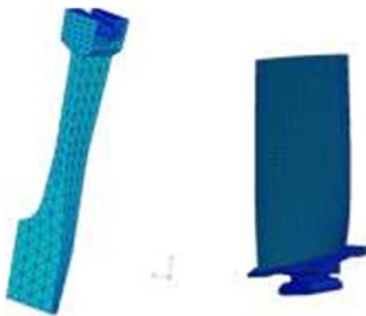
Dovetail joint model

$$M\ddot{u} + C\dot{u} + K_t u + f_c = f_{ex}$$

$$K_t = K - K_c + K_g \rightarrow \text{Centrifugal effect}$$

1

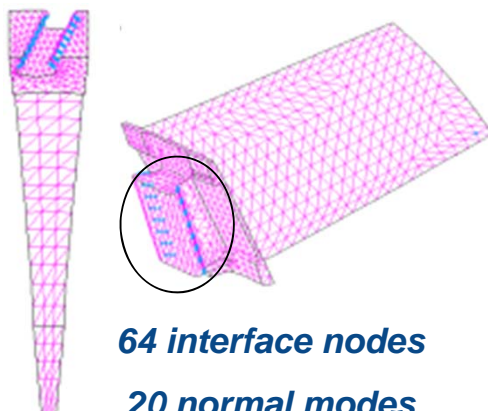
Cyclic symmetry



$N/2$ nodal diameter
=> OOP mode

2

Craig-Bampton reduction
Blade SE
Disk SE



64 interface nodes
20 normal modes

3

Multi-harmonic balance method

relative
displacements

Lagrange
multipliers

reduced
external
forces

$$Z_r \tilde{u}_r + \Lambda = \tilde{f}_r$$

3 to 5 harmonics
Node-to-node Coulomb friction model
(stick, slip, separation)

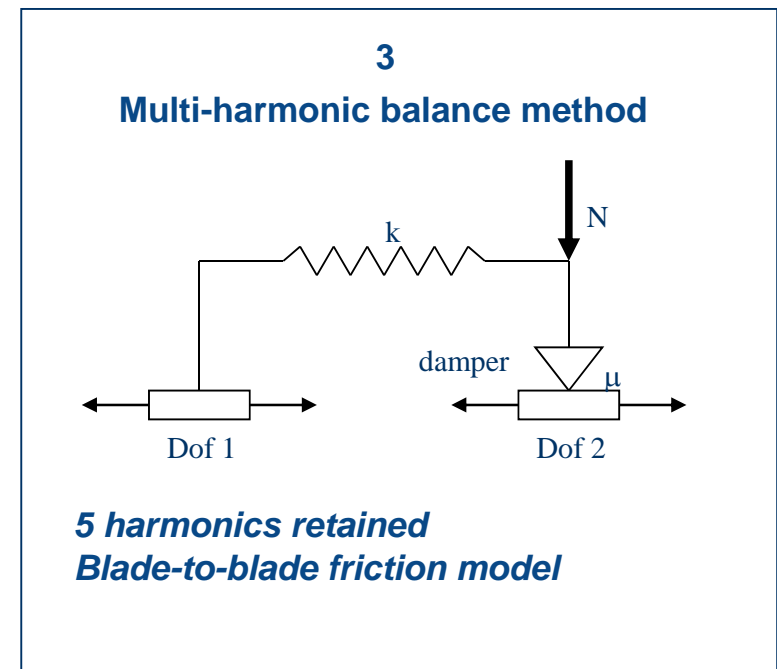
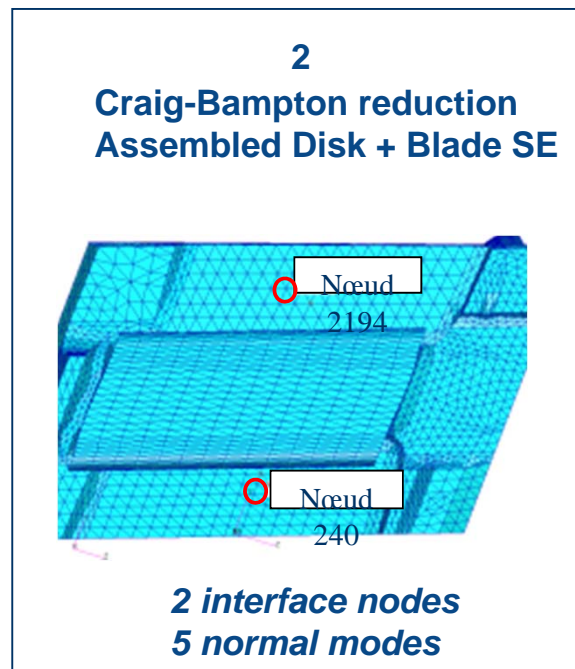
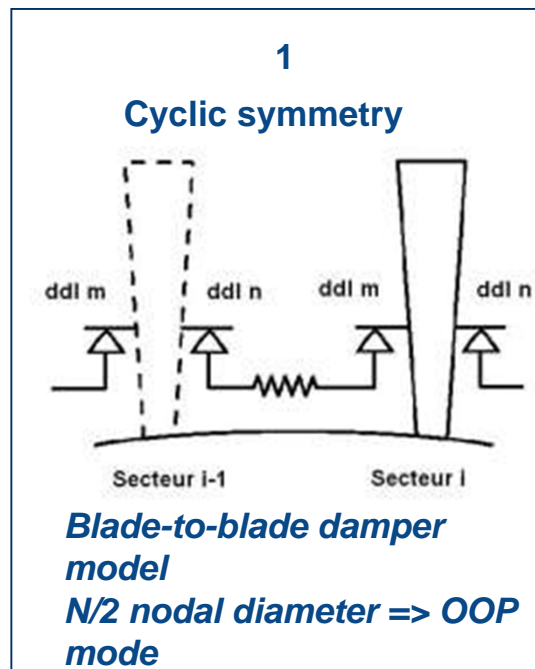
The goal is finally to calibrate the friction coefficient.

« Ce document et les informations qu'il contient sont la propriété de Snecma. Ils ne doivent pas être copiés ni communiqués à un tiers sans l'autorisation préalable et écrite de Snecma. ».

■ Simulation methods (2/2)

► Friction Damper model

- Blade-to-blade model

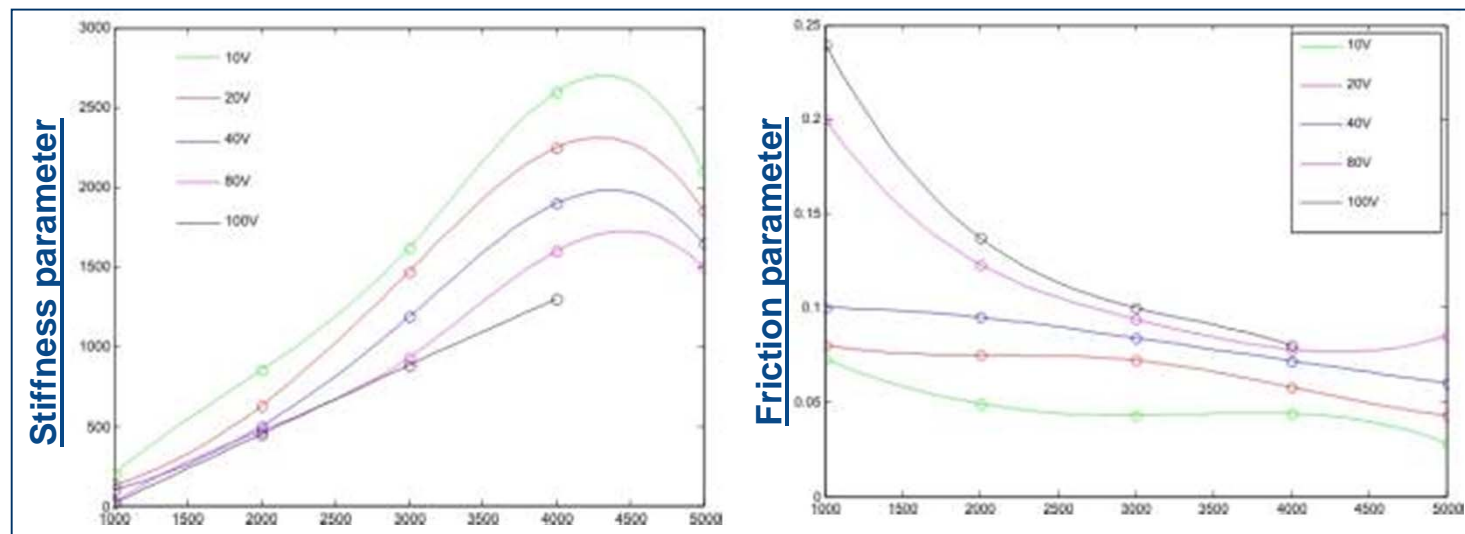
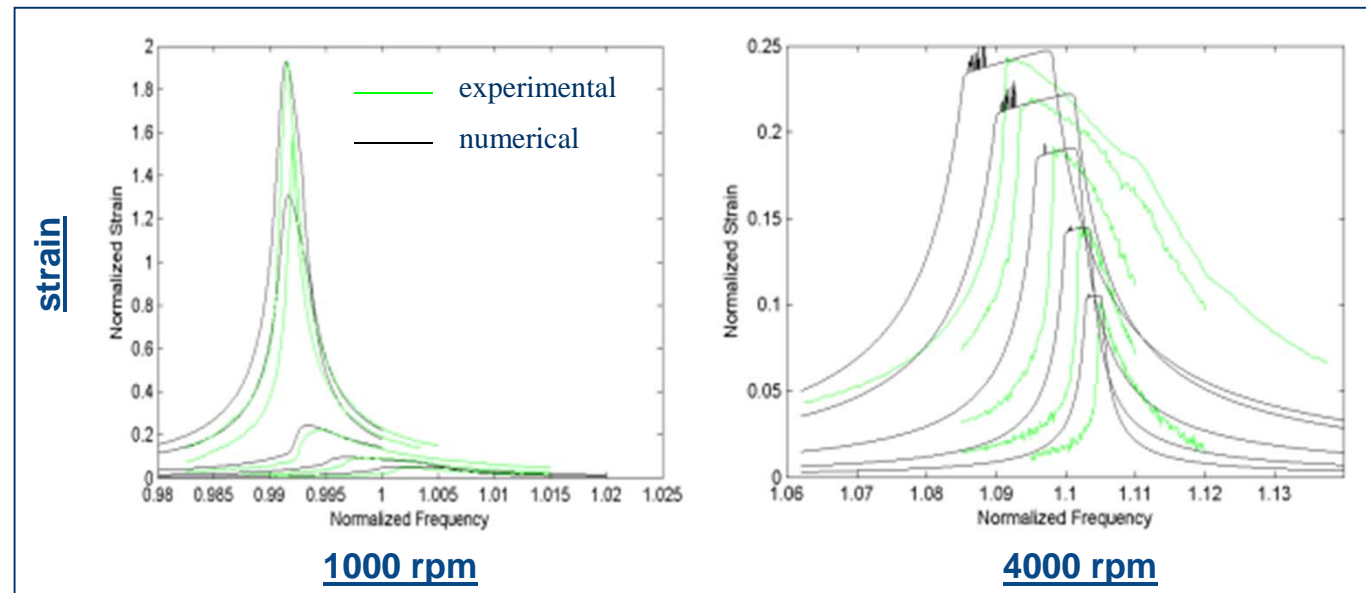


The goal is finally to calibrate the friction coefficient and the contact stiffness.

« Ce document et les informations qu'il contient sont la propriété de Snecma. Ils ne doivent pas être copiés ni communiqués à un tiers sans l'autorisation préalable et écrite de Snecma. ».

■ Simulation results (1/2)

► Friction Damper

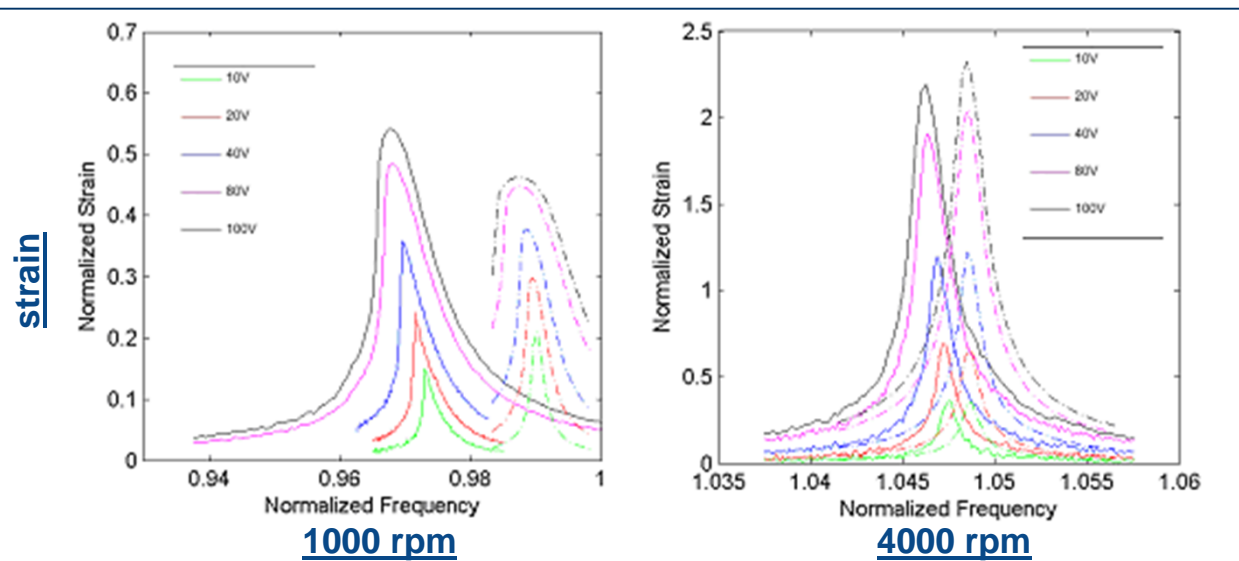
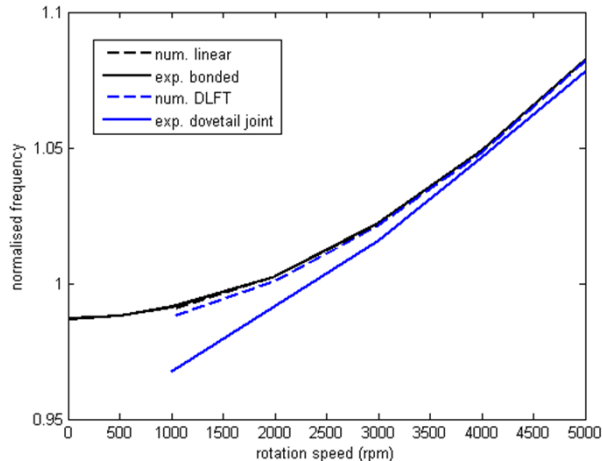


« Ce document et les informations qu'il contient sont la propriété de Snecma. Ils ne doivent pas être copiés ni communiqués à un tiers sans l'autorisation préalable et écrite de Snecma. ».

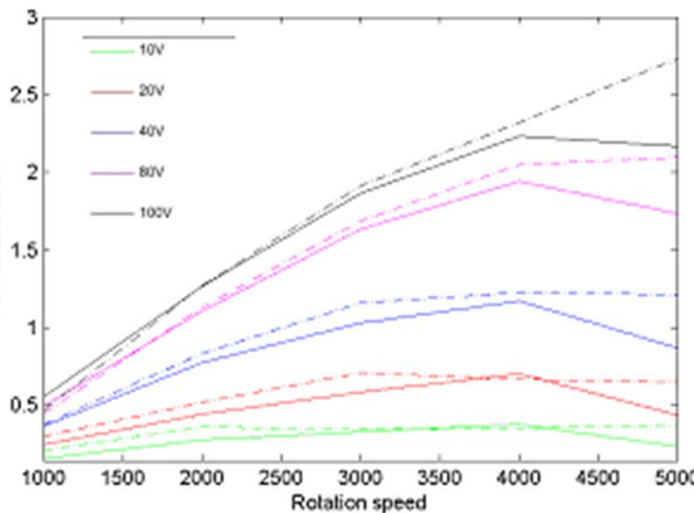
■■■ Simulation results (2/2)

► Dovetail joint

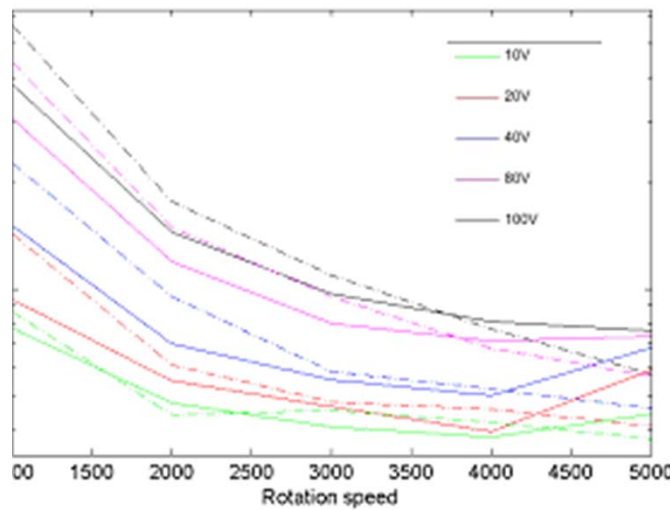
frequency



strain



damping



- 😊 **Precision on level**
=> non-linear evolution
- 😊 **Robustness & predictivity**
=> unique value of friction coefficient
- 😢 **Lack of precision on frequency shift**
=> Relevance of the static calculation ?
=> Use of contact stiffness ?

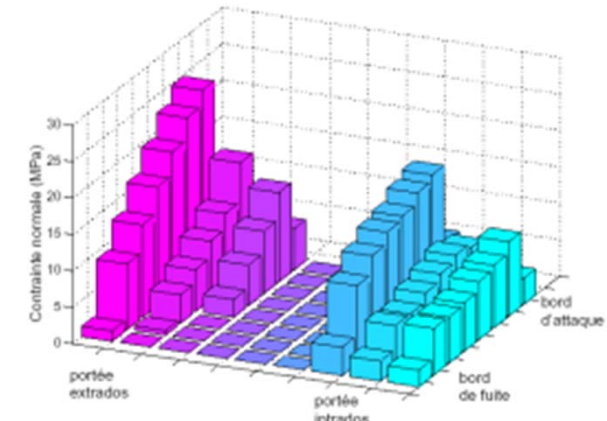
■■■ Work in progress & next steps (1/2)

► Industrial applications

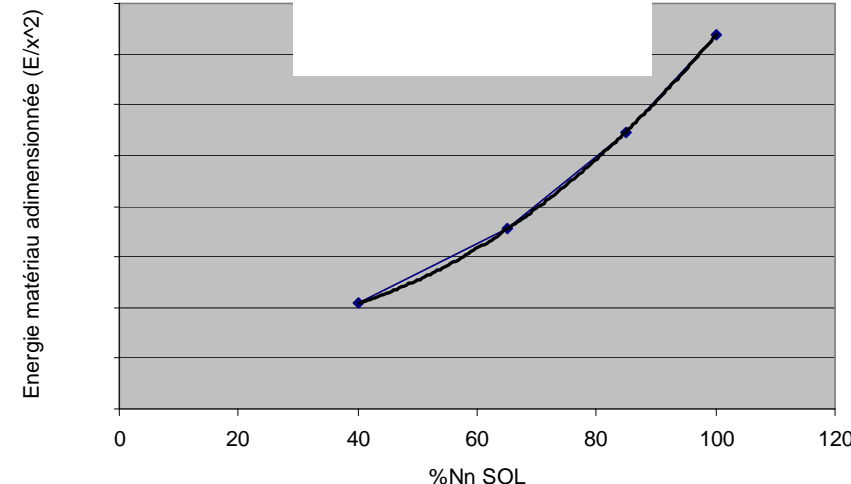
Calibration tests on a fan



Distribution of dissipated energy



Simulated dissipated energy over the regime



Objective : input for aeroelastic analyses (flutter & forced response)

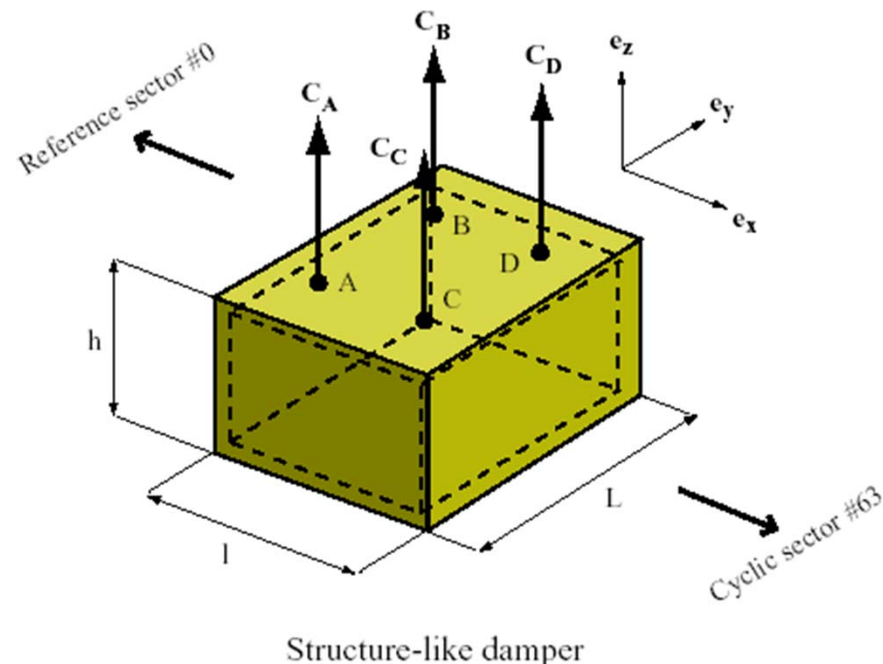
« Ce document et les informations qu'il contient sont la propriété de Snecma. Ils ne doivent pas être copiés ni communiqués à un tiers sans l'autorisation préalable et écrite de Snecma. ».

■■■ Work in progress & next steps (2/2)

- Extension of fretting/wear analysis against dynamic loads
- Extension of multi-point damper model
 - Industrialisation and evaluation of the method in progress



Contact zone observed in test
=> Limitation of single-point
damper



« Ce document et les informations qu'il contient sont la propriété de Snecma. Ils ne doivent pas être copiés ni communiqués à un tiers sans l'autorisation préalable et écrite de Snecma. ».

Conclusion

► **2 dry-friction damping phenomena investigated**

- Dovetail joint
- Thin-wall damper

► **Experiments to calibrate models over a wide range of conditions**

- Bonded root => linear reference
- Free root without damper
- Bonded root with damper

► **2 multi-harmonic balance approaches industrialised and tested**

► **The more nodes are retained in the model**

- the more physical is the model,
- the less calibration factors needed,
- the more robust the model.

« Ce document et les informations qu'il contient sont la propriété de Snecma. Ils ne doivent pas être copiés ni communiqués à un tiers sans l'autorisation préalable et écrite de Snecma. ».

Backup slide 1 : FRFs, damper configuration

